

УДК 629.783.06-533.6

Ю. В. Петров¹, Б. М. Рассамакин²,
Т. А. Тарапона¹, В. С. Хорошилов¹

¹Державне конструкторське бюро «Південе» ім. М. К. Янгеля, Дніпропетровськ

²Національний технічний університет України (Київський політехнічний інститут)

Оценка влияния на тепловой режим КА отклонений от номинальных значений теплофизических параметров

Доповідь на конференції 05.09.05

Обрнутовано необхідність точної інформації про реальні значення теплофізичних параметрів для КА з пасивною системою терморегулювання. За даними телеметричної інформації від давачів температури на КА АУОС-СМ-КФ методом розв'язку оберненої задачі проведено аналіз деградації чорної емалі АК-512 і визначено ефективну теплопровідність стільникової панелі та будованих у неї теплових труб.

На микроспутниках, получивших в последнее время широкое распространение, тепловой режим обеспечивается в основном с помощью пассивных средств терморегулирования, к которым относятся терморегулирующие покрытия с заданными значениями оптических коэффициентов A_s и ε , тепловые трубы, чехлы из экранно-вакуумной изоляции, тепловые изолаторы и др.

Реализация пассивного терморегулирования возможна только при условии неизменности (или незначительном изменении) теплофизических характеристик средств терморегулирования в течение всего срока эксплуатации на орбите.

В наземных условиях исследование изменения значений оптических коэффициентов терморегулирующих покрытий (ТРП) проводилось на специальных установках с имитацией воздействия отдельных факторов космического пространства.

Наиболее достоверную информацию о стойкости элементов пассивного терморегулирования к комплексному воздействию факторов космического пространства можно получить при прове-

дении натурных испытаний. Исследования образцов покрытий, проведенные на станции «Мир» (для орбит до 400 км), показали, что коэффициент поглощения солнечного излучения A_s на черной эмали АК-512 уменьшается со временем. На более высоких орбитах исследования деградации черных покрытий и эффективной теплопроводности труб до настоящего времени не проводились.

Поэтому на раме блока панелей КА АУОС-СМ-КФ была установлена экспериментальная сотопанель со встроенными тепловыми трубами [1], на обе поверхности которой наносилась ТРП — черная эмаль АК-512. На панели установлено четыре датчика температуры, по показаниям которых можно судить о деградации ТРП и эффективной теплопроводности тепловых труб.

Кроме того, с течением времени в паровой полости труб под воздействием процессов химического взаимодействия теплоносителя с материалом труб, а также жесткого рентгеновского излучения могут выделяться неконденсирующи-

еся газы, которые приводят к ухудшению эффективной теплопроводности труб. В ходе эксперимента по показаниям датчиков температуры также можно определить и степень изменения эффективной теплопроводности труб.

КА АУОС-СМ-КФ запущен 31.07.01 на круговую орбиту с минимальной высотой 505 км и максимальной высотой 544 км; наклонением 82.5°; точностью ориентации базовой оси на центр диска Солнца — не хуже 10'; нормалью к рабочей поверхности сотопанели, направленной на Солнце с точностью $\pm 2^\circ$.

Узкий диапазон значений в изменении ориентации сотопанели позволяет с достаточной достоверностью рассчитывать падающие на ее поверхность тепловые потоки от Солнца, благодаря чему с высокой степенью точности можно определять значения оптических коэффициентов поверхностей панели.

В ходе эксперимента решались две задачи.

1. Определение деградации оптических коэффициентов терморегулирующего покрытия — эмали АК-512 черной.

2. Определение эффективной теплопроводности и стабильности тепловых труб в условиях невесомости в течение всего срока эксплуатации.

Устанавливаемая на КА АУОС-СМ-КФ сотопанель с размерами в плане 495×492 мм состоит из сот и обшивок. В качестве обшивок использованы алюминиевые листы толщиной 0.4 мм. Соты выполнены из алюминиевой фольги толщиной 30 мкм. Ячейки сот шестиугольные со сторонами 5 мм. Глубина ячейки сот 40 мм. Толщина сотовой панели 41 мм.

Наружная поверхность сотопанели покрыта черной эмалью АК-512 с начальными значениями оптических коэффициентов рабочей и тыльной поверхностей $A_s = 0.98$ [2] и $\varepsilon = 0.75$.

Рабочая сторона сотопанели закрыта экраном ЭВТИ, в котором находятся два выреза размером 120×150 мм. С тыльной стороны сотопанели установлен экран ЭВТИ размером 248×180 мм. Местоположение экранов ЭВТИ и вырезов в них показано на рис. 1.

Внутри сотопанели установлены две тепловые трубы, приклешенные к рабочей (солнечной) обшивке сотопанели. Для контроля температуры обшивок на сотопанели установлены четыре датчика температуры:

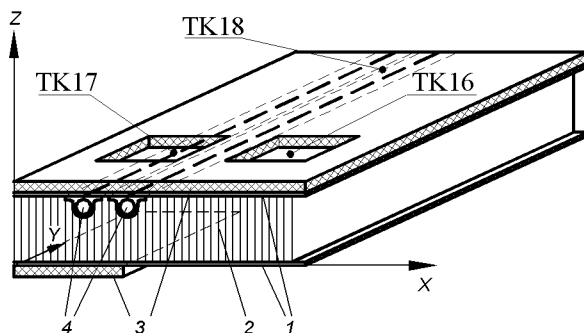


Рис. 1. Конструкция приборной сотовой панели и ее компоненты: 1 — обшивка, 2 — сотозаполнитель, 3 — экранно-вакуумная тепловая изоляция (ЭВТИ), 4 — тепловая труба, TK16, TK17, TK18 — датчики температуры

Таблица 1. Масса и теплоемкость элементов конструкции

Наименование	Количество	m, г	Удельная теплоемкость c, Дж/(кг·К)
Рабочая сторона сотопанели (с учетом тепловых труб)	1	790	900
Тыльная сторона сотопанели	1	520	900
Боковые грани:			
левая и правая	2	410	900
передняя и задняя	2	430	
Экран ЭВТИ:			
над рабочей стороной	1	350	1047
над тыльной стороной	1	15.8	

- TK16, TK17, TK18 — на рабочей поверхности обшивки (два из них вдоль труб);
- TK15 — на тыльной поверхности обшивки.

При этом датчики TK15 и TK16 предназначены для определения перепада температур по толщине сотопанели, а датчики TK17 и TK18 — по длине участков сотопанели с трубами.

Масса и теплоемкость элементов конструкции приведены в табл. 1.

Для расчета теплового режима сотопанели и оценки влияния изменения оптических коэффициентов на температуры сотопанели была разработана геометрическая и тепловая математическая модель.

При разработке математической модели учитывается теплоподвод от внешних источников тепла, излучение тепла в окружающее про-

странство, перетекание его по сотам и обшивкам, а также переизлучение между обшивками.

Особое влияние на перепад температур между обшивками сотопанели оказывает эффективное термическое сопротивление за счет теплопроводности по толщине сотопанели, которое определяется из соотношения

$$R_z = 2R_{\text{общ}} + 2R_{\text{кл}} + R_{\text{сот}}, \quad (1)$$

где

$$R_{\text{общ}} = \frac{\ln(D/d)}{\lambda_{\text{общ}} 2\pi h_{\text{общ}}}$$

— термическое сопротивление обшивки, D и d — диаметры начала и конца передачи тепла участка обшивки, $\lambda_{\text{общ}}$ — теплопроводность обшивки, $h_{\text{общ}}$ — толщина обшивки, $R_{\text{кл}} = \delta_{\text{кл}} / (\lambda_{\text{кл}} F_{\text{кл}})$ — термическое сопротивление kleевого соединения, $\delta_{\text{кл}}$ — толщина kleевого соединения, $\lambda_{\text{кл}}$ — теплопроводность kleя, $F_{\text{кл}} = nba\delta_{\phi}$ — площадь контакта kleя с сотой, n — количество сот на расчетном участке, a — сторона соты, δ_{ϕ} — толщина фольги, $R_{\text{сот}} = h_{\text{сот}} / (\lambda_z^{\phi} F_{\text{уq}})$ — термическое сопротивление по сотозаполнителю, $h_{\text{сот}}$ — толщина сотозаполнителя, $\lambda_z^{\phi} = \frac{8\sqrt{3}}{9} \frac{\delta_{\phi}}{a}$ — эффективная теплопроводность сотозаполнителя, $\lambda_{\text{сот}}$ — теплопроводность сотозаполнителя, $F_{\text{уq}}$ — площадь поверхности касания сот с обшивкой.

Подставляя в выражение (1) численные значения коэффициентов:

$$D = 4.6 \text{ см}, \quad d = 2 \text{ см}, \quad \lambda_{\text{общ}} = 117 \text{ Вт} \cdot \text{м}^{-1} \text{К}^{-1},$$

$$h_{\text{общ}} = 4 \text{ мм}, \quad \delta_{\text{кл}} = 81.7 \text{ мкм}, \quad \lambda_{\text{кл}} = 0.5 \text{ Вт} \cdot \text{м}^{-1} \text{К}^{-1},$$

$$n = 8, \quad a = 5 \text{ мм}, \quad \delta_{\phi} = 30 \text{ мкм}, \quad F_{\text{кл}} = 7.2 \text{ мм}^2,$$

$$h_{\text{сот}} = 4.1 \text{ см}, \quad \lambda_{\text{сот}} = 155 \text{ Вт} \cdot \text{м}^{-1} \text{К}^{-1}, \quad \lambda_z^{\phi} = 1.43,$$

получим

$$R_{\text{общ}} = 0.283 \text{ К/Вт}, \quad R_{\text{кл}} = 22.717 \text{ К/Вт},$$

$$R_{\text{сот}} = 54 \text{ К/Вт}, \quad R_z = 100 \text{ К/Вт}.$$

Расчеты по выбранной модели проводились для условий внешнего теплоподвода, которые соответствовали дате 07.11.2003 г. (по истечению 27 месяцев после запуска КА). Условия внешнего теплоподвода определялись по баллистическим параметрам на период с 03.11.2003 по 11.11.2003 гг.

Таблица 2. Значения оптических коэффициентов на поверхностях основных расчетных узлов: A_s — коэффициент поглощения солнечного излучения в видимом диапазоне, ε — степень черноты

Поверхность	A_s	ε	Покрытие
Наружная поверхность сотопанели	0.95...0.98	0.75	эмаль АК-512
Наружная поверхность датчиков температуры	0.6	0.5	полиимидная пленка
Экран ЭВТИ	0.7	0.8	ткань капроново-каркасная
Боковые грани сотопанели	0.6	0.8	Ан. Окс. упл.

Для определения более полного совпадения расчетных значений температуры сотопанели с данными ТМ-информации расчеты проводились для нескольких значений коэффициентов поглощения солнечного излучения $A_s = 0.95...0.98$. Значения оптических коэффициентов на поверхностях основных расчетных узлов приведены в табл. 2. Изменение температуры в течение витка для датчиков температуры TK15, TK16, TK17 и TK18 представлено на рис. 2. Значения теплофизических характеристик сотопанели со встроенными тепловыми трубами определялись с использованием телеметрической информации по датчикам температуры TK15-TK18, представленной на рис. 3. Видно, что наилучшее совпадение температур соответствует $A_s = 0.98$ (рис. 4). Это свидетельствует об отсутствии деградации терморегулирующего покрытия АК-512 черного на орбитах высотой свыше 500 км за 27 месяцев эксплуатации.

Эффективную теплопроводность участка сотопанели с тепловыми трубами можно определить из уравнения теплового баланса:

$$A_s S_0 F_n \cos(n, \hat{s}) - \varepsilon \sigma F_n T_{\text{K17}}^4 - \frac{\lambda}{\delta} F_{\text{cn}} (T_{\text{K17}} - T_{\text{K18}}) = 0, \quad (2)$$

где A_s — коэффициент поглощения солнечного излучения, S_0 солнечная постоянная, n, \hat{s} — угол между нормалью к поверхности сотопанели и направлением на Солнце, ε — степень черноты, σ — постоянная Стефана — Больцмана, $T_{\text{K17}}, T_{\text{K18}}$ — температуры участков сотопанели

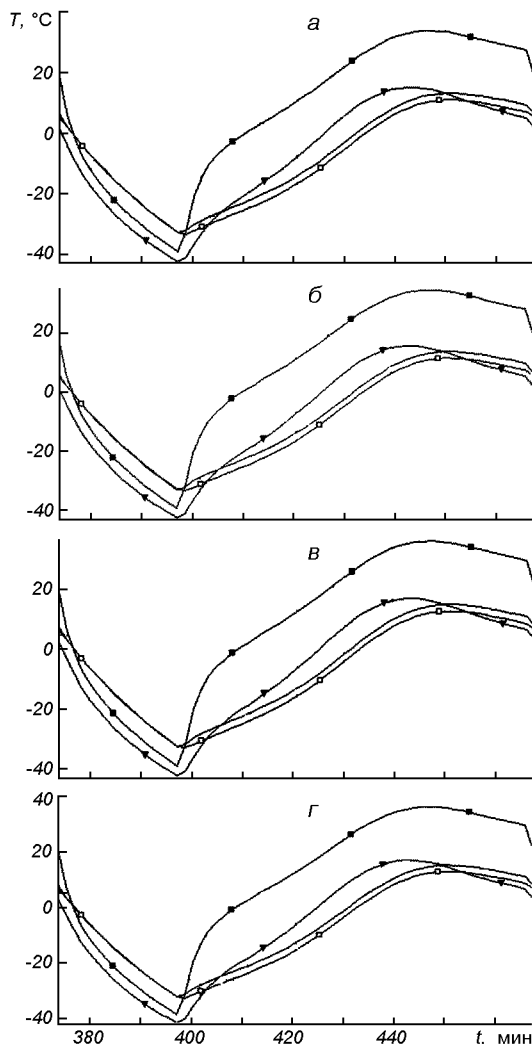


Рис. 2. Изменение температуры в течение витка для $A_s = 0.98$ (а), 0.97 (б), 0.96 (в), 0.95 (г)

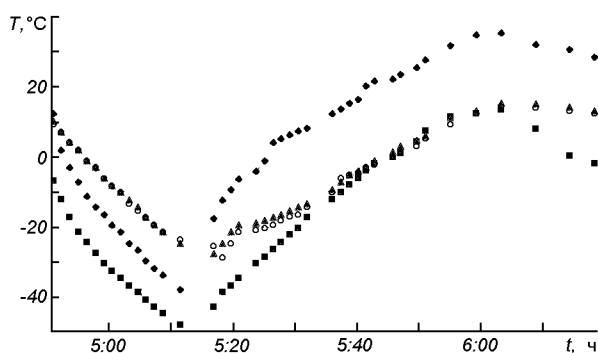


Рис. 3. Изменение температуры датчиков TK15, TK16, TK17 и TK18 по данным ТМ-информации

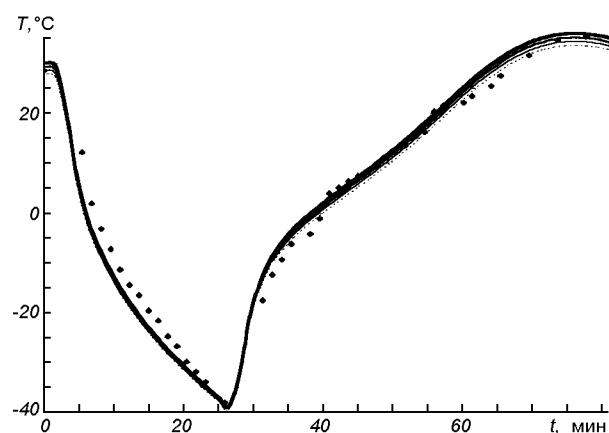


Рис. 4. Изменение температуры датчика TK16 в течение витка для $A_s = 0.95 \dots 0.98$

Таблица 3. Значения T_{K17} и T_{K18} по данным ТМ-информации

Дата	Номер витка	Температура датчика TK17, °C	Температура датчика TK18, °C	ΔT , °C	λ , Вт/(м·К)
31.07.2001	13	15.66	14.61	1.05	2755.6
10.10.2001	1292	16.1	15.06	0.95	2989.6
23.11.2001	2118	17.33	16.31	1.02	2816.9
17.05.2002	4675	21.43	20.4	1.03	2744.3
27.01.2003	8841	14.59	13.57	1.02	2849.7

зоны испарения и конденсации тепловой трубы соответственно, λ — эффективный коэффициент теплопроводности, F_n — площадь подвода и отвода тепла, δ — длина транспортной зоны (расстояние между датчиками температуры), F_{cn} — поперечное сечение транспортной зоны.

Решая уравнение (2) относительно λ , получим

$$\lambda = \frac{A_s S_0 F_n \cos(n, \hat{s}) - \varepsilon \sigma F_n T_{K17}^4}{(F_{cn}/\delta)(T_{K17} - T_{K18})}. \quad (3)$$

Значения T_{K17} и T_{K18} представлены в табл. 3.

Подставляя в (3) значения коэффициентов $A_s = 0.98$, $S_0 = 1400 \text{ Вт}/\text{м}^2$, $F_n = 0.0081 \text{ м}^2$, $\varepsilon = 0.75$, $\delta = 29.7 \text{ см}$, $F_{cn} = 0.00084 \text{ м}^2$, $\sigma = 56.7 \text{ нВт}\cdot\text{м}^{-2}\cdot\text{К}^{-4}$, определим величину эффективной теплопроводности λ для различных значений ΔT , приведенные в табл. 3. Как видно, значения эффективной теплопроводности тепло-

вых труб, вычисленные для разных сроков эксплуатации их на орбите, отличаются незначительно — не более 8 %, что свидетельствует о высокой стабильности теплопроводящей способности труб.

Незначительные расхождения значений эффективной теплопроводности могут быть объяснены погрешностью показаний датчиков температуры, которая по результатам измерения температур на технической позиции при подготовке КА АУОС-СМ-КФ к пуску составила не более 0.8 °C.

1. Рассамакин Б. М., Тараков Г. В., Хайрнасов С. М. и др. Моделирование и анализ результатов наземных и летних испытаний сотопанели с тепловыми трубами на космическом аппарате АУОС-СМ-КФ // Научно-техн. сб. «Космическая техника. Ракетное вооружение». — Днепропетровск: ГКБ «Южное», 2004.—С. 264—276.

2. Silverman E. M. Space environmental effects on spacecraft: LEO materials selection guide // Progress Rep. — 1995.— P. 1099—10101. (TRW Space and Electronics Group, Redondo Beach, California. Contract NAS1-19291.April 1993 through March 1995).

ESTIMATE OF THE INFLUENCE OF THERMOPHYSICAL PARAMETER DEVIATIONS ON SC THERMAL REGIME

**Yu. V. Petrov, B. M. Rassamakin, T. A. Taranova
V.S.Khoroshyllov**

The necessity of accurate information on actual values of thermophysical properties for the SC with passive thermal control system is substantiated. On the basis of the telemetry information from the temperature sensors of the AUOS-SM-KF SC, the degradation of black enamel AK-512 is analyzed using inverse-scattering method as well as effective thermal conductivity of honeycomb panel and embedded heat-pipes is estimated.